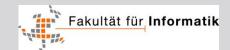


Kognitive Systeme

Bildverarbeitung II

2D-Filter in Orts- und Frequenzbereich

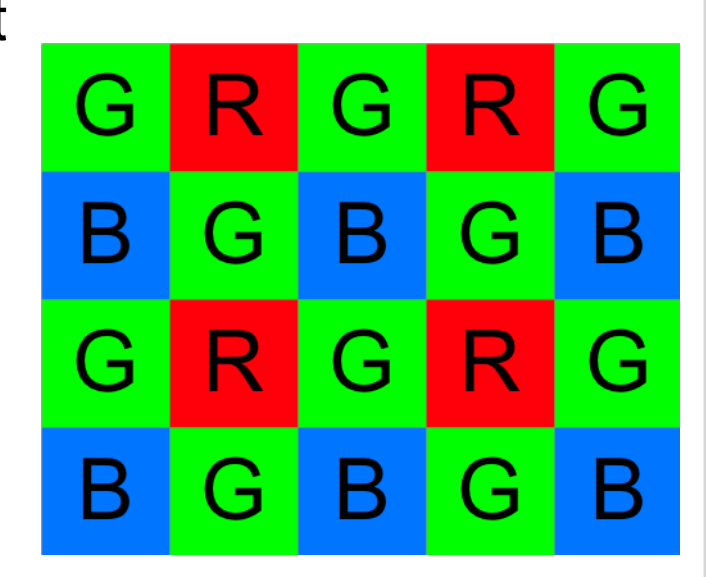
Mittwoch, 3. Mai 2017



Bayer-Pattern



- Sehr hochwertige Kameras, wie z.B. zum Filmen verwendet, besitzen drei Chips pro Pixel
- Die meisten Farbkameras haben einen Chip pro Pixel, der gegenüber der Farbe Rot, Grün oder Blau empfindlich ist
- Bei "Ein-Chip-Kameras" wird meist das Bayer-Pattern verwendet
 - Um nach RGB24 zu konvertieren, muss interpoliert werden
 - Die Empfindlichkeit einer Ein-Chip-Kamera ist um Faktor 3 niedriger als die einer reinen Graustufen-Kamera!

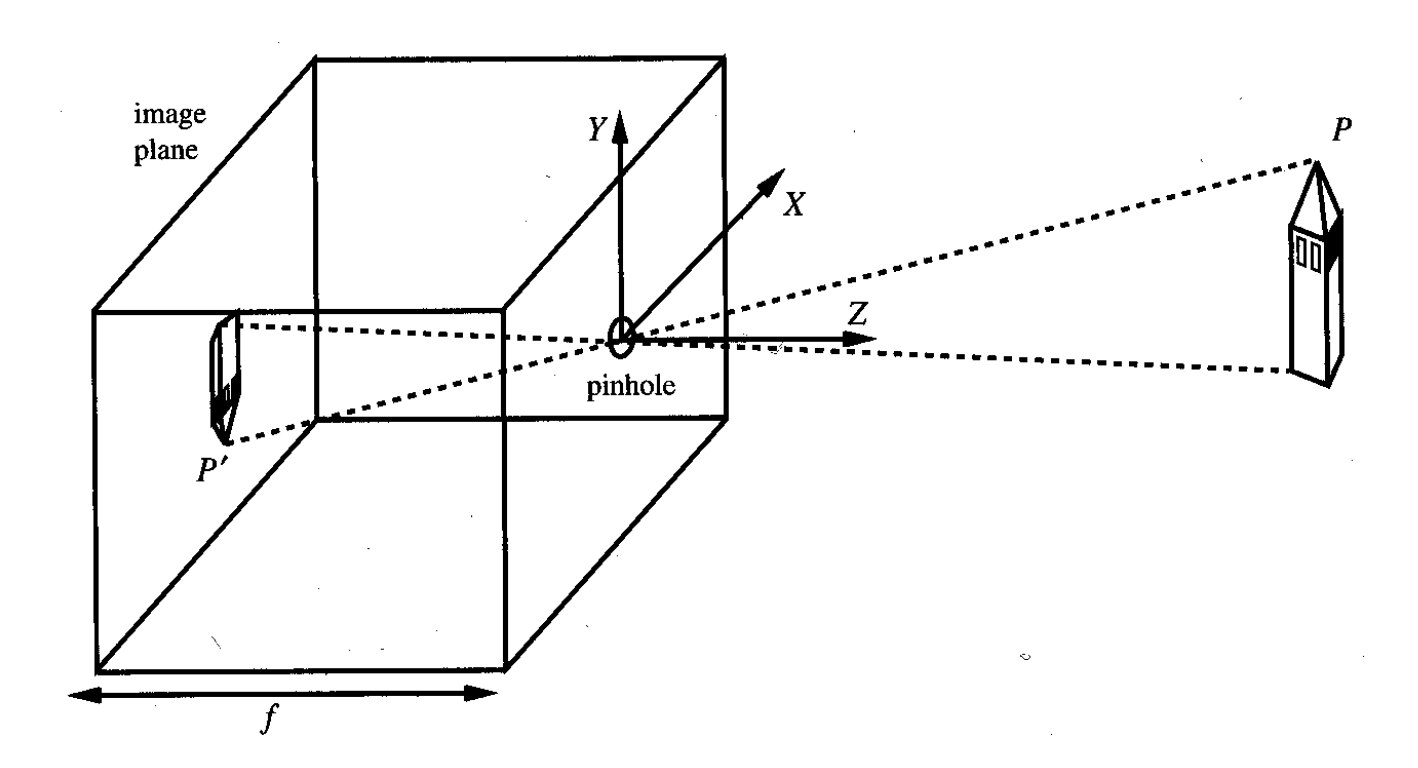




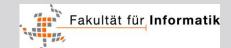
Bilderzeugung: Lochkamera 1



Einfachstes Modell auf Basis linearer Strahlenoptik : Lochkameramodell



Interner Parameter: Brennweite f ("Fokalabstand")



Bildgenerierung: Lochkamera 2



Projektion eines Szenenpunktes P = (X, Y, Z) auf einen Bildpunkt p = (u, v, w):

$$\frac{-u}{f} = \frac{X}{Z}, \frac{-v}{f} = \frac{Y}{Z}, w = -f \Rightarrow \qquad X = -\frac{uZ}{f}, Y = -\frac{vZ}{f}$$

$$(u) \quad (u) \quad (X) \qquad \text{Rückprojektion}$$

 $p = \begin{pmatrix} u \\ v \\ w \end{pmatrix} = \begin{pmatrix} u \\ v \\ -f \end{pmatrix} = -\frac{f}{Z} \begin{pmatrix} X \\ Y \\ Z \end{pmatrix} = -\frac{f}{Z} P$

Perspektivprojektion

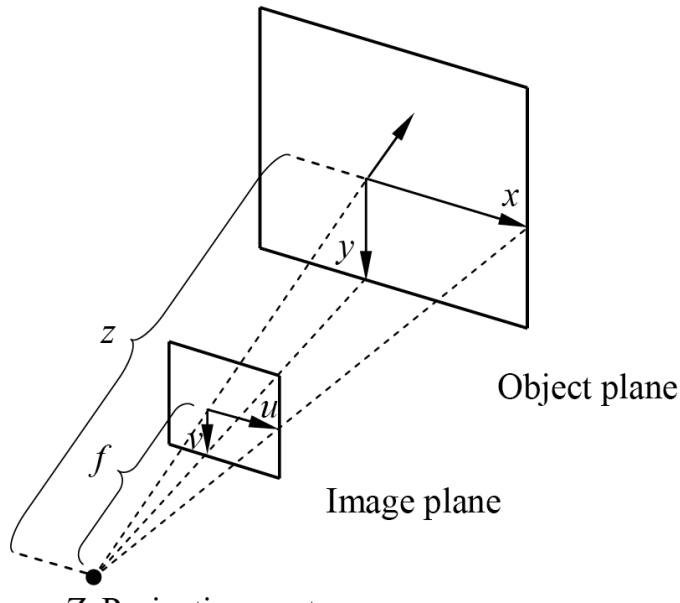
Bei der Projektion geht die Z-Komponente verloren!



Bildgenerierung: Lochkamera 3



- Oft verwendete Variante: Lochkameramodell in Positivlage:
 - Projektionszentrum C liegt hinter der Bildebene
 - Dadurch: keine Spiegelung (Minuszeichen entfallen)



Z, Projection center





Bildverarbeitung



Bildverarbeitung: Grundoperationen



- Homogene Punktoperatoren
- Histogrammauswertung
- Filterung
- Geometrische Operationen

Unterdrückung von Störungen "Verschönern" von Bildern Verformen von Bildern



Homogene Punktoperatoren



- Anwendung: $\operatorname{Img}'(u,v) = f(\operatorname{Img}(u,v))$
- Unabhängig von der Position bzw. den Nachbarn des Pixels
- Implementierung der Funktion f oftmals als Look-Up-Table (Hardware)

Überblick



- 2D Fourier-Transformation
- Bildverarbeitung im Frequenzbereich
- Bildverarbeitung im Ortsbereich durch Faltung
- Canny-Kantendetektor

Homogene Punktoperatoren



- Anwendung: $\operatorname{Img}'(u,v) = f(\operatorname{Img}(u,v))$
- Unabhängig von der Position bzw. den Nachbarn des Pixels
- Implementierung der Funktion f oftmals als Look-Up-Table (Hardware)



Algorithmus für die Anwendung eines affinen Punktoperators

Algorithmus 8 AffinePunktoperation $(I, a, b) \rightarrow I'$

$$\begin{aligned} & \textbf{for all pixels } (u,v) \text{ in } I \textbf{ do} \\ & g := \text{round}(a \cdot I(u,v) + b) \\ & I'(u,v) := \begin{cases} 0 & \text{falls } g < 0 \\ q & \text{falls } g > q \\ g & \text{sonst} \end{cases} \\ & \textbf{end for} \end{aligned}$$

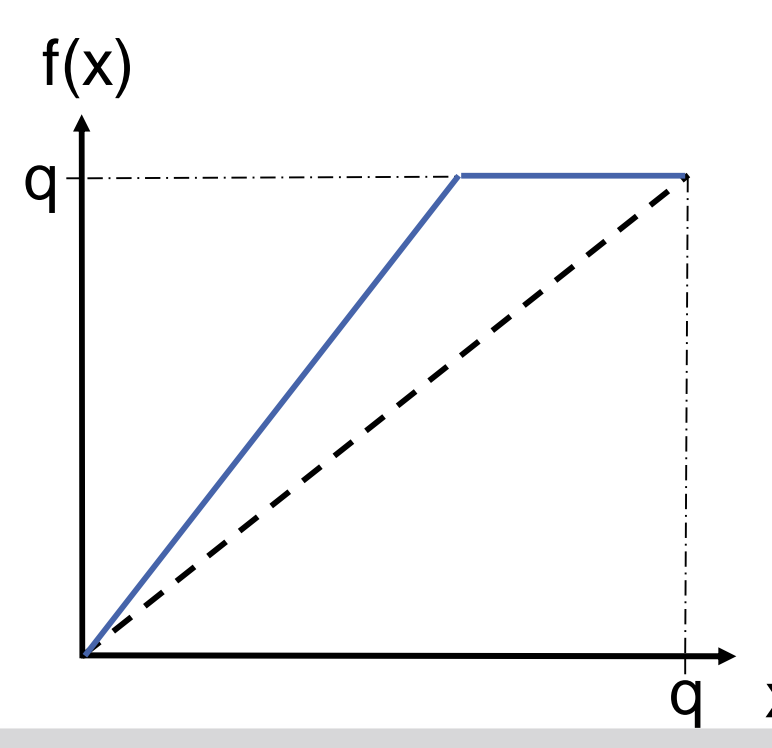


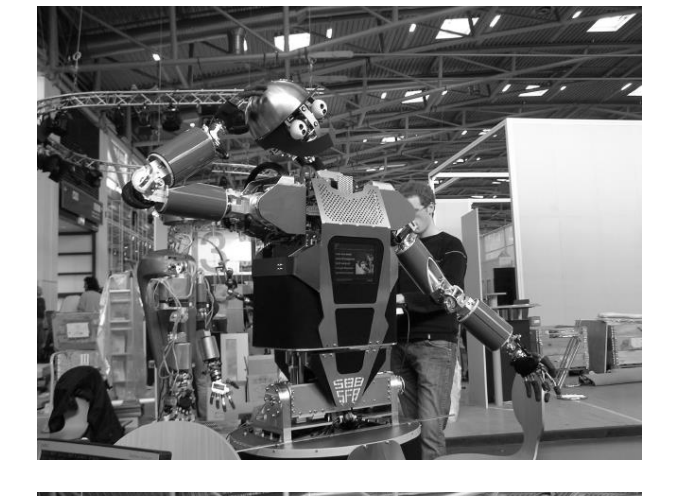
Kontrasterhöhung:

$$b = 0; a > 1$$

Original

Beispiel: f(x) = 2x









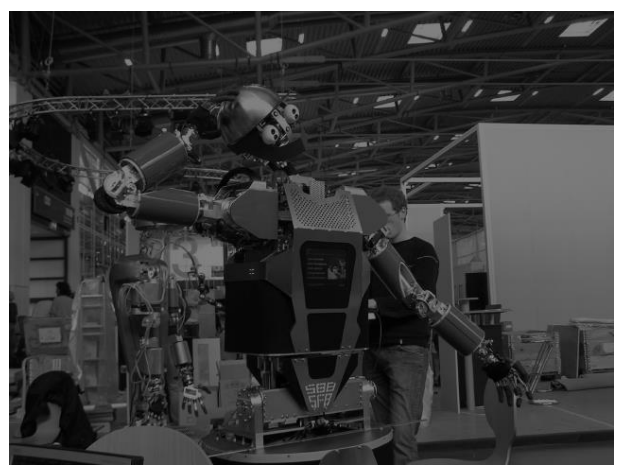
Kontrastverminderung:

$$b = 0$$
; $a < 1$

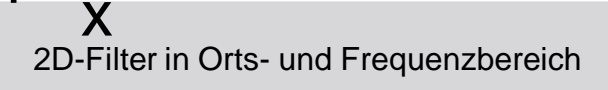
Original

Beispiel: f(x) = 0.5x













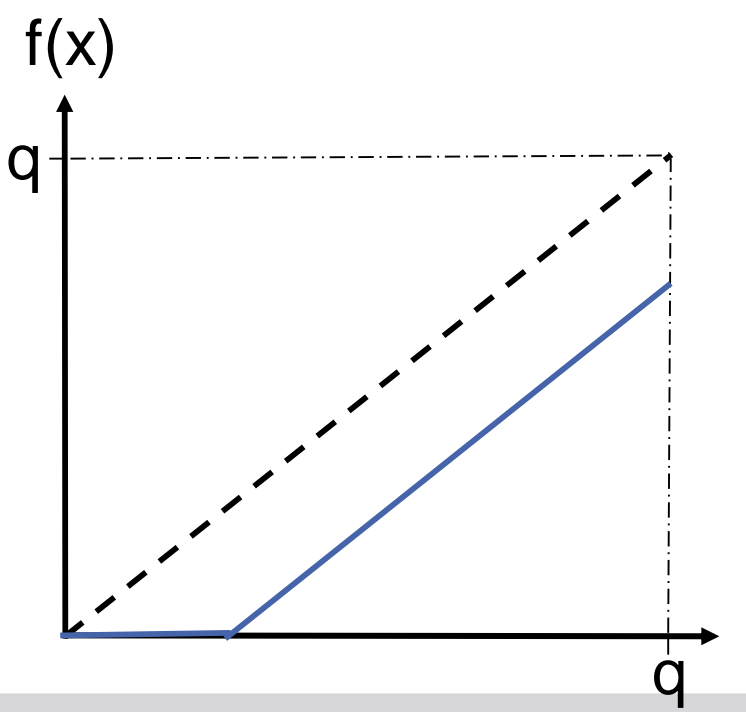
Helligkeitsverminderung:

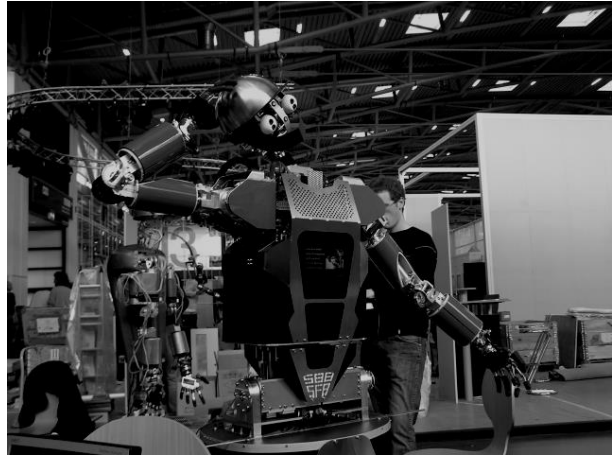
$$b < 0$$
; $a = 1$

Original

Beispiel: f(x) = x - 50





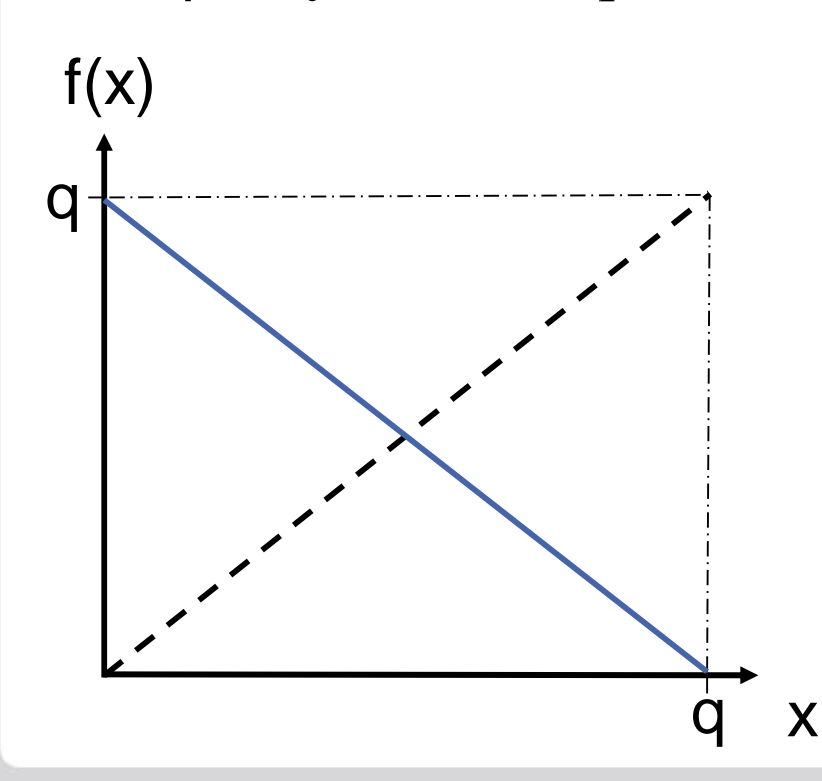




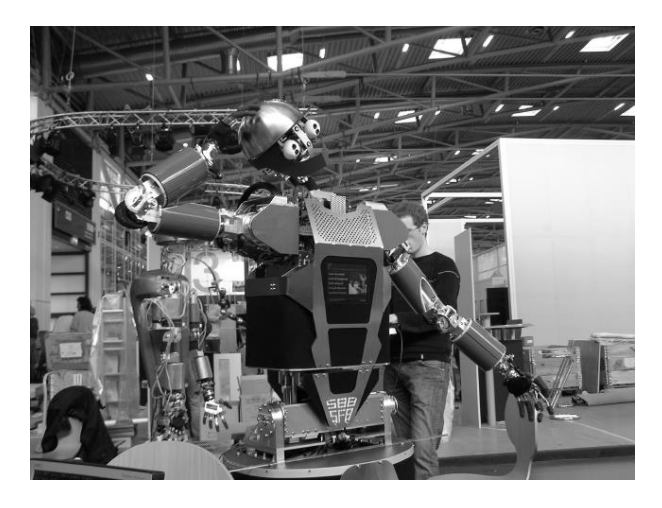
Invertierung:

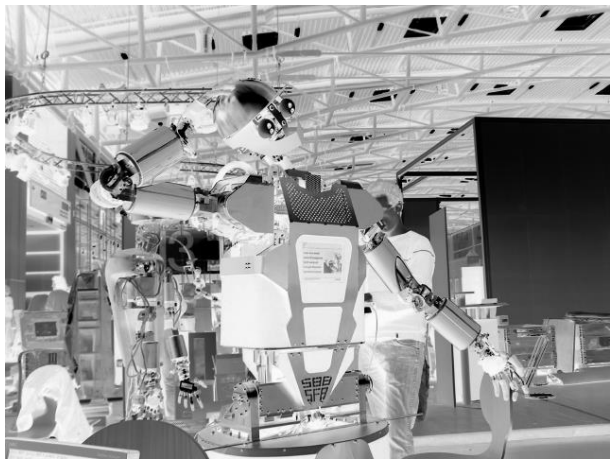
$$b = q; a = -1$$

Beispiel: f(x) = -x + q



Original



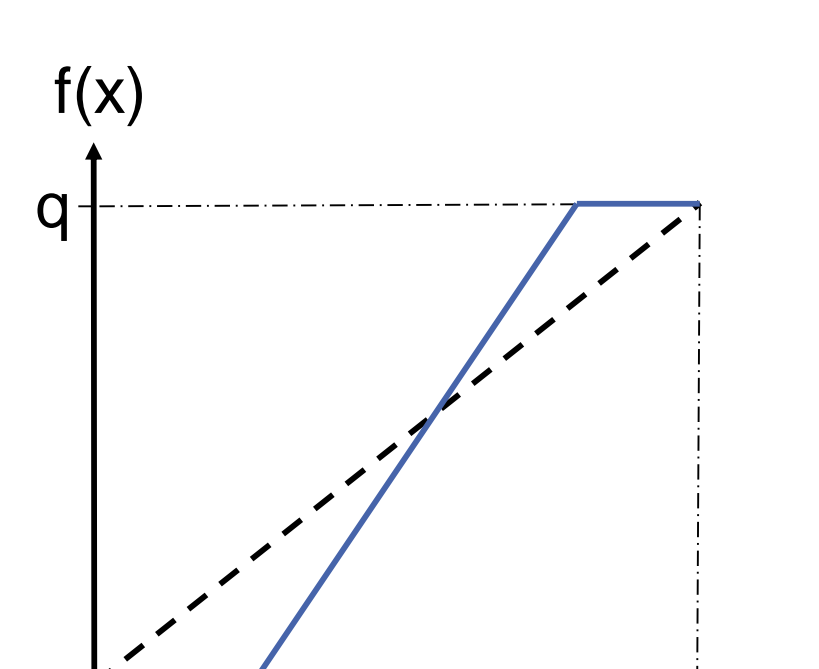




Kombinationen:

Original

Beispiel: f(x) = 2x - 50





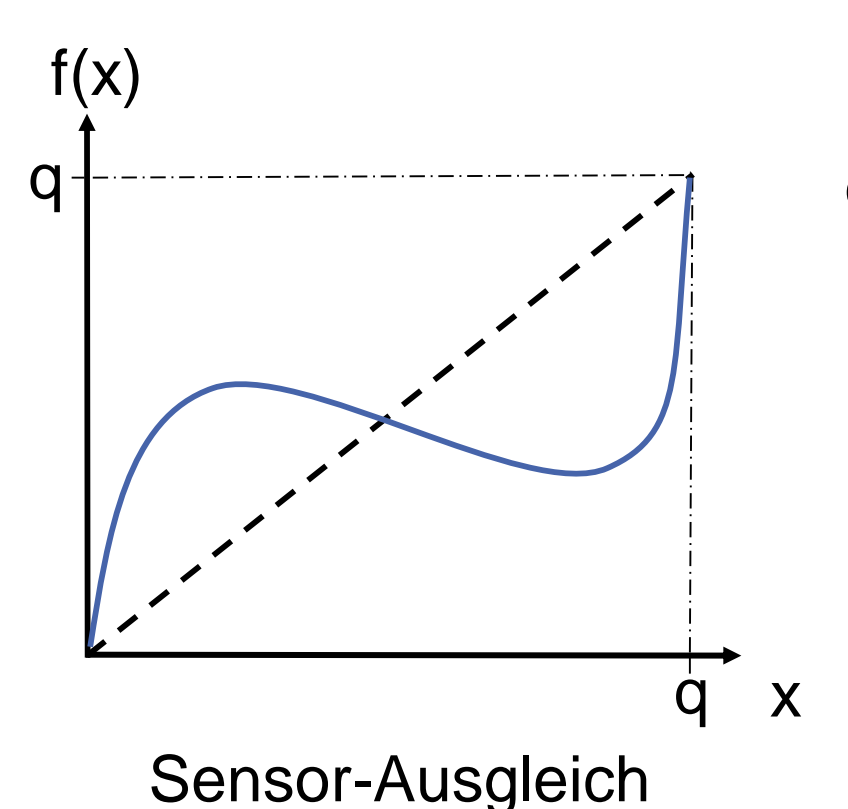


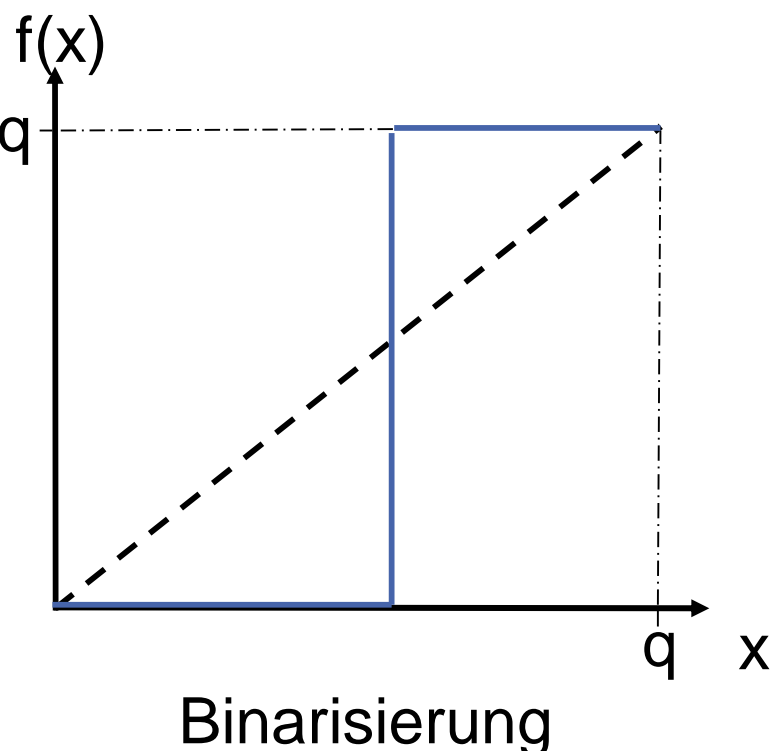




Beliebige Abbildungsfunktion

$$f:[0.q] \rightarrow [0.q]$$









Anwendung:

Ausgleich von Sensor-Nichtlinearitäten

Gewichtung

Binarisierung



Automatische Kontrastanpassung



Spreizung

Histogrammdehnung

Histogrammausgleich



Spreizung



- Die Spreizung berechnet in einem Bild zunächst die minimale Intensität min und die maximale Intensität max
- Anschließend wird das Intervall [min, max] linear auf [0, 255] abgebildet und es werden entsprechend die Intensitäten im Bild angepasst
- Die Spreizung ist eine affine Punktoperation
- Nachteil:
 - In der Praxis nicht robust
 - Nur unter optimalen Bedingungen anwendbar



Spreizung



Abbildungsvorschrift:
$$I'(u,v) = q \cdot \frac{I(u,v) - min}{max - min}$$

Als affine Punktoperation:
$$I'(u,v) = \frac{q}{max - min} \cdot I(u,v) - \frac{q \cdot min}{max - min}$$

Algorithmus 11 Berechne $MinMax(I) \rightarrow min, max$

```
min := q, max := 0
for all pixels (u, v) in I do
  if I(u, v) < min then
  min := I(u, v)
  end if
  if I(u, v) > max then
  max := I(u, v)
  end if
  end for
```

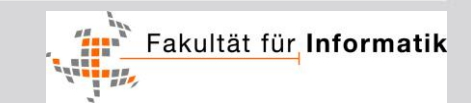
Algorithmus 12 Spreize $(I) \rightarrow I'$

 $min, max \leftarrow \text{BerechneMinMax}(I) \text{ {Algorithmus 11}}$

if
$$min = max$$
 then
STOP {Bild I ist homogen}
end if

$$a := \frac{q}{max - min}$$
$$b := -\frac{q \cdot min}{max - min}$$

 $I' \leftarrow AffinePunktoperation(I, a, b) \{Algorithmus 8\}$

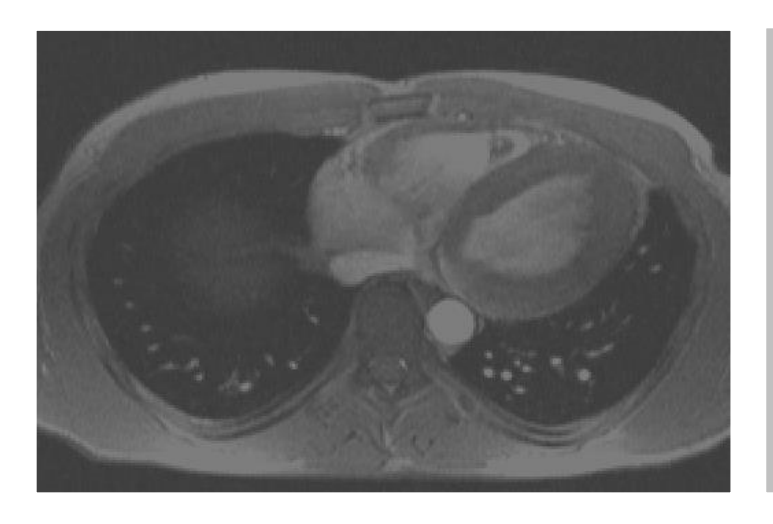


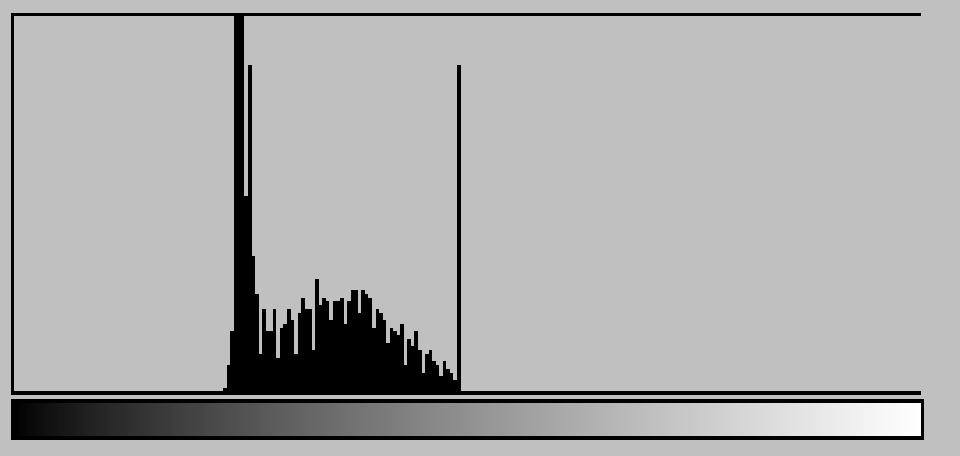
Grauwerthistogramm



Histogrammfunktion: gibt die Häufigkeit eines Merkmals an Normalerweise: Grauwert

$$H(x) = \#(u,v) : I(u,v) = x, x \in [0..q-1]$$





Berechnung des Grauwerthistogramms

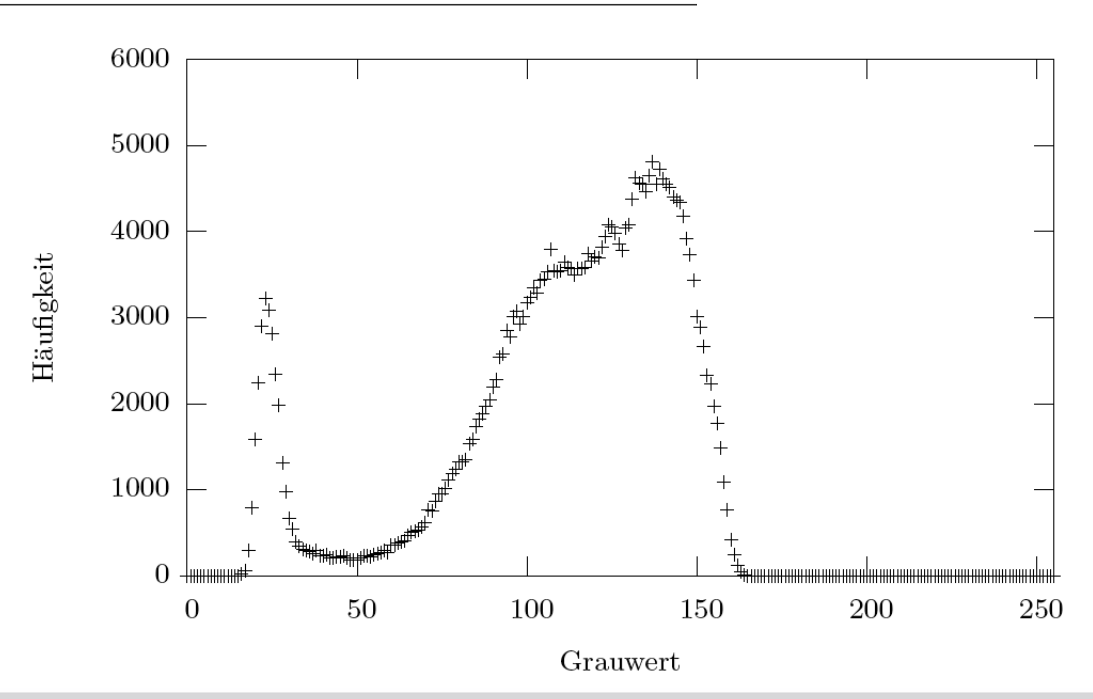


Algorithmus 9 BerechneGrauwertHistogramm $(I) \rightarrow H$

for
$$x := 0$$
 to q do
$$H(x) := 0$$
end for
for all pixels (u, v) in I of

Bei einem 8 Bit Graustufenbild ist $q = 2^8 - 1 = 255$.

for all pixels (u, v) in I do H(I(u, v)) := H(I(u, v)) + 1 end for



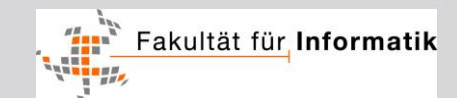
Histogrammdehnung



- Die Histogrammdehnung ist eine Verbesserung der Spreizung
- Anstatt der minimalen bzw. maximalen Intensität werden Quantile verwendet, um tatsächliche Maxima im Histogramm zu erkennen
- Die Histogrammdehnung ist eine affine Punktoperation
- Definition der Quantilsfunktion $H_q(p)$ für die Anwendung auf Histogrammen $(p \in [0, 1])$:

$$H_a(x) := \sum_{k=0}^{x} H(k)$$

$$H_q(p) := \inf \{ x \in \{0, \dots, q\} : H_a(x) \ge p \cdot H_a(q) \}$$



Histogrammdehnung



Algorithmus 13 Berechne Akkumuliertes Histogramm $(H) \rightarrow H_a$

```
H_a(0) := H(0)
for x := 1 to q do
H_a(x) := H_a(x-1) + H(x)
end for
```

Algorithmus 14 BerechneQuantil $(H_a, p) \rightarrow v$

```
for x := 0 to q do

if H_a(x) \ge p \cdot H_a(q) then

v := x

RETURN

end if

end for
```

Algorithmus 15 HistogrammDehnung $(I, p_{min} = 0, 1, p_{max} = 0, 9) \rightarrow I'$

```
H \leftarrow \operatorname{BerechneGrauwertHistogramm}(I) \ \{\operatorname{Algorithmus} \ 9\}
H_a \leftarrow \operatorname{BerechneAkkumuliertesHistogramm}(H) \ \{\operatorname{Algorithmus} \ 13\}
min \leftarrow \operatorname{BerechneQuantil}(H_a, p_{min}) \ \{\operatorname{Algorithmus} \ 14\}
max \leftarrow \operatorname{BerechneQuantil}(H_a, p_{max}) \ \{\operatorname{Algorithmus} \ 14\}

if min = max then
\operatorname{STOP} \ \{\operatorname{Bild} \ I \ \text{ ist homogen}\}
end if
a := \frac{q}{max - min}, \ b := -\frac{q \cdot min}{max - min}
I' \leftarrow \operatorname{AffinePunktoperation}(I, a, b) \ \{\operatorname{Algorithmus} \ 8\}
```

Histogrammdehnung



Algorithmus 13 Berechne Akkumuliertes Histogramm $(H) \rightarrow H_a$

```
H_a(0) := H(0)
for x := 1 to q do
H_a(x) := H_a(x-1) + H(x)
end for
```

Algorithmus 14 BerechneQuantil $(H_a, p) \rightarrow v$

```
for x := 0 to q do

if H_a(x) \ge p \cdot H_a(q) then

v := x

RETURN

end if

end for
```

Algorithmus 15 HistogrammDehnung $(I, p_{min} = 0, 1, p_{max} = 0, 9) \rightarrow I'$

```
H \leftarrow \operatorname{BerechneGrauwertHistogramm}(I) \ \{\operatorname{Algorithmus} \ 9\}
H_a \leftarrow \operatorname{BerechneAkkumuliertesHistogramm}(H) \ \{\operatorname{Algorithmus} \ 13\}
min \leftarrow \operatorname{BerechneQuantil}(H_a, p_{min}) \ \{\operatorname{Algorithmus} \ 14\}
max \leftarrow \operatorname{BerechneQuantil}(H_a, p_{max}) \ \{\operatorname{Algorithmus} \ 14\}

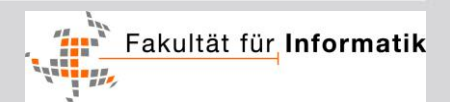
if min = max then
\operatorname{STOP} \ \{\operatorname{Bild} \ I \ \text{ ist homogen}\}
end if
a := \frac{q}{max - min}, \ b := -\frac{q \cdot min}{max - min}
I' \leftarrow \operatorname{AffinePunktoperation}(I, a, b) \ \{\operatorname{Algorithmus} \ 8\}
```

Histogrammausgleich



- Der Histogrammausgleich erhöht den Kontrast in Bereichen des Histogramms mit vielen Treffern
- Dadurch werden stark vertretene Grauwertbereiche für das Auge sichtbarer gemacht
- Der Histogrammausgleich ist eine homogene Punktoperation, jedoch keine affine Punktoperation
- Nachteil:

Obwohl der Histogrammausgleich in der Praxis in der Regel den Kontrast erhöht, kann er auch zu einer Verminderung des Kontrasts führen (siehe Übung)



Histogrammausgleich



Algorithmus 16 HistogrammAusgleich $(I) \rightarrow I'$

 $H \leftarrow \text{BerechneGrauwertHistogramm}(I) \{\text{Algorithmus 9}\}\$

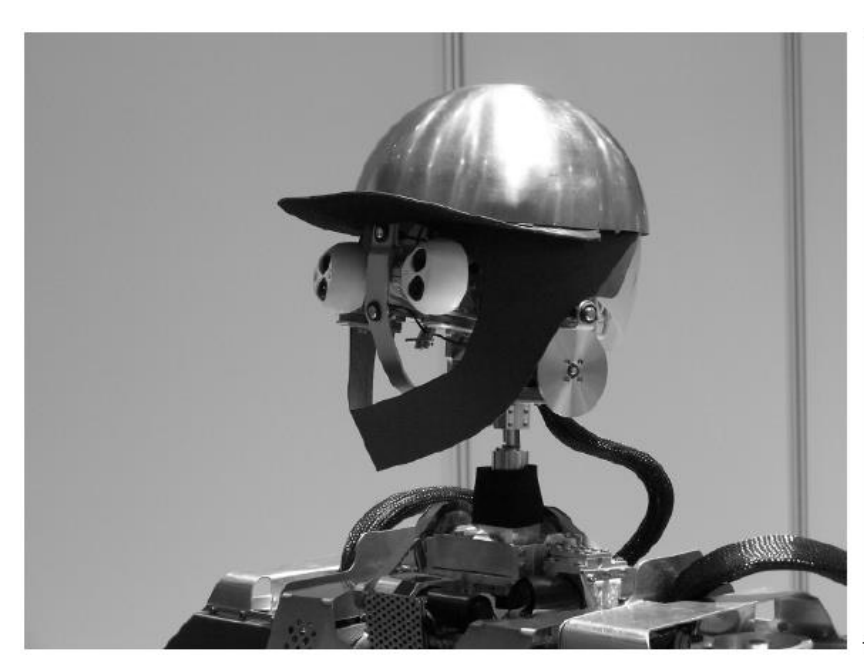
 $H_a \leftarrow \text{BerechneAkkumuliertesHistogramm}(H) \{\text{Algorithmus } 13\}$

for
$$x := 0$$
 to q do
$$H_n(x) := \operatorname{round}(\frac{q \cdot H_a(x)}{H_a(q)})$$
end for

for all pixels
$$(u, v)$$
 in I do $I'(u, v) := H_n(I(u, v))$ end for

Beispiele zur Kontrastanpassung





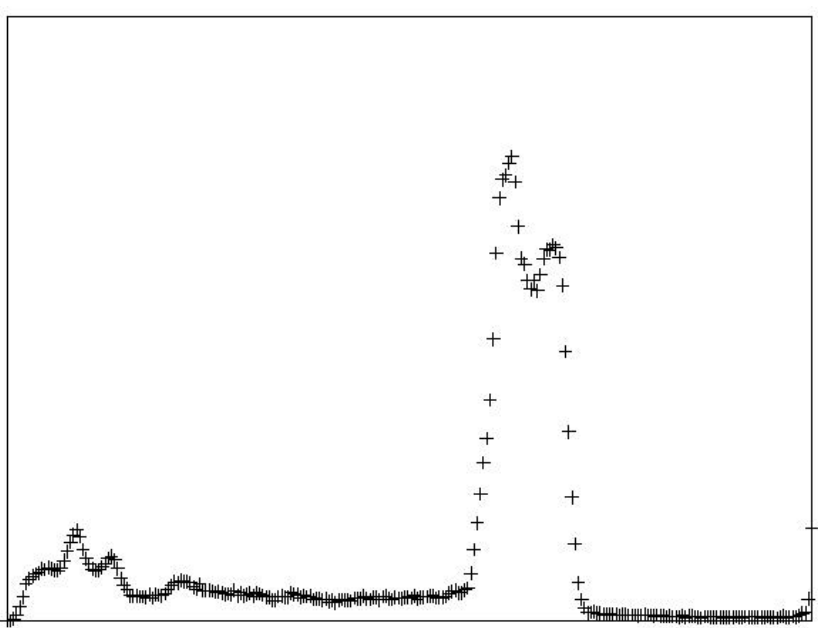
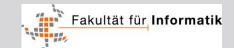


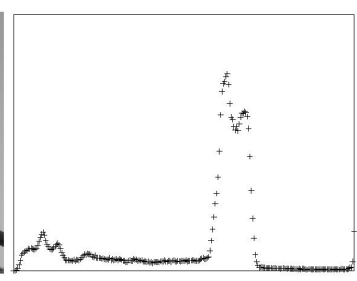
Bild des Kopfes des humanoiden Roboters ARMAR III. Links: Eingabebild. Rechts: Grauwerthistogramm.



Beispiel Histogrammdehnung

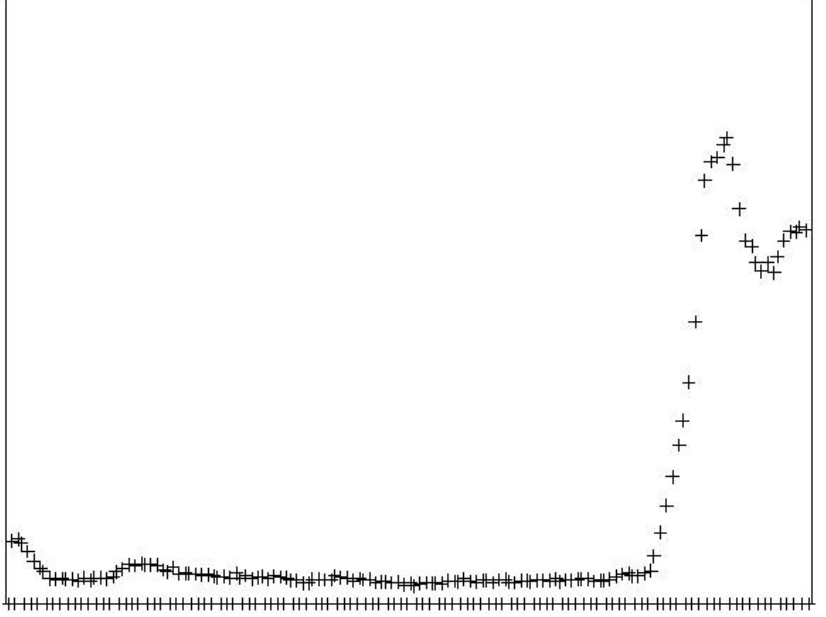






Eingabebild mit Grauwerthistogramm.





Ergebnis einer Histogrammdehnung mit $p_{min} = 0,1$ und $p_{max} = 0,9$. Links: Ergebnisbild. Rechts: Grauwerthistogramm.

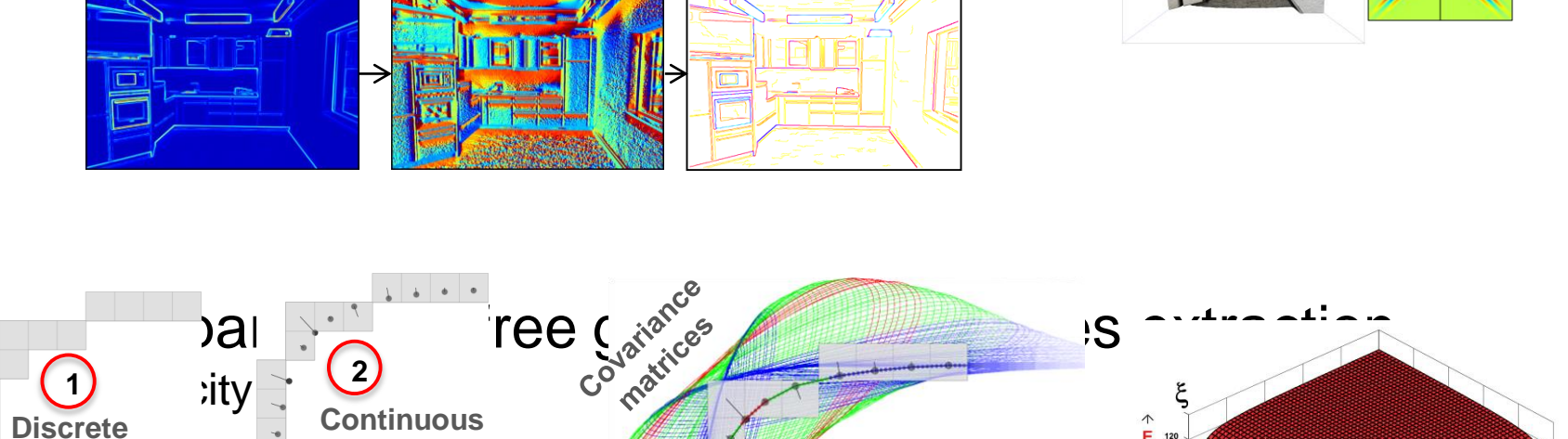


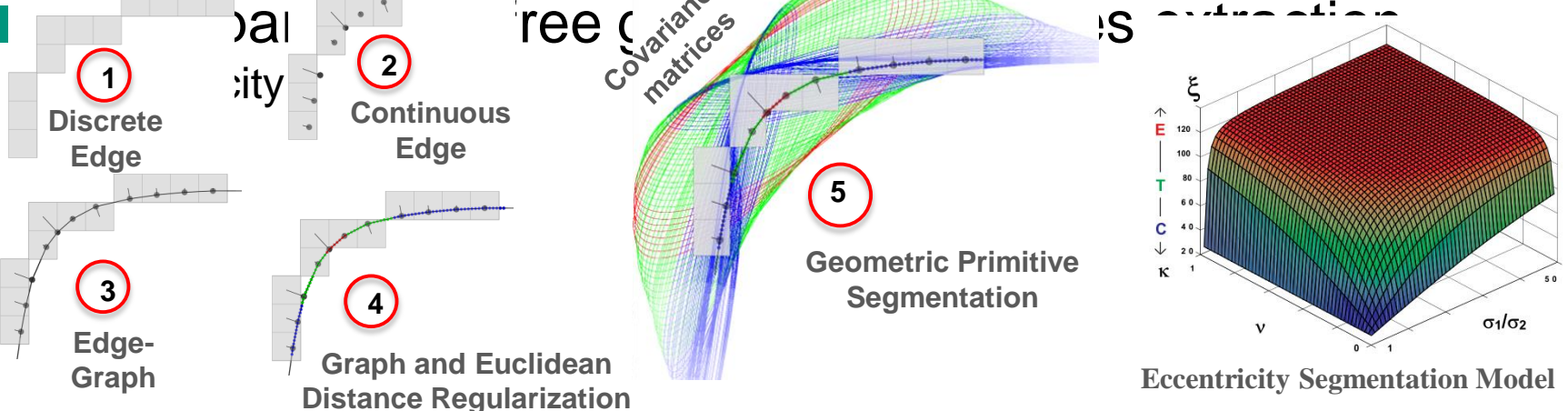
Visual Feature Extraction



- $\textbf{Edge extraction} \ \ [\text{Grigorescu et al. 20} \ \ \underbrace{\Gamma(\mathbf{x}) = \sum_{p=0}^{n} \sum_{q=0}^{n} U_{\langle p\pi/2n \rangle} \left\{ \Phi(\mathbf{x}) \circledast \Psi^{(p\pi/2n,q)} \right\} }_{\mathsf{I}}$
 - Gabor kernels



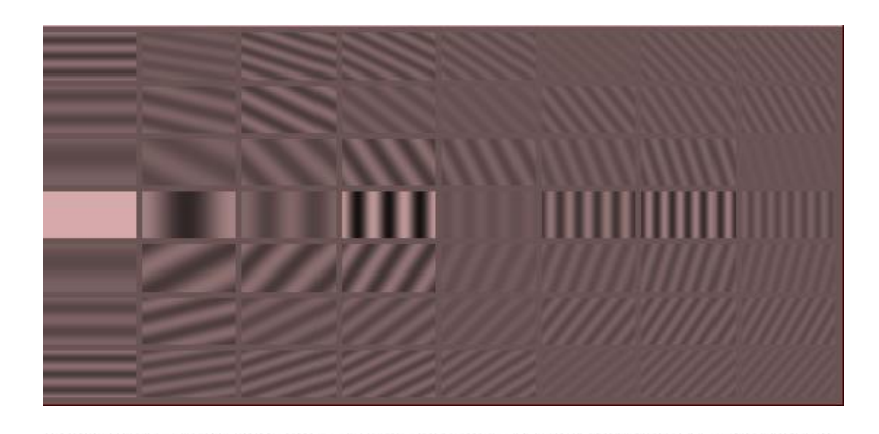


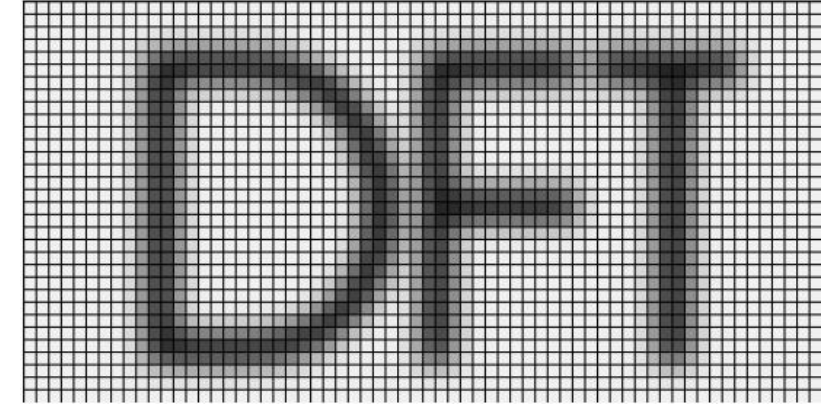


Bildanalyse durch Frequenzanalyse



- (Grauwert-)Bilder lassen sich signaltheoretisch als Summe verschiedenfrequenter Signale betrachten
- Niedrige Frequenzen: Schwache Grauwertübergänge
- Hohe Frequenzen:Scharfe Grauwertübergänge

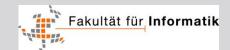




Fourier-Transformation in der Bildverarbeitung



- Gewichtete Summation aller Bildpunkte
- Zerlegung des Bildes in Sinus- und Kosinusfunktionen
- Je weiter ein Punkt im Spektrum vom Bildmittelpunkt entfernt, desto höher seine darstellende Frequenz u bzw. v
- D.h. im Bildinneren tiefe Frequenzen, in äußeren Bereichen hohe Frequenzen
- Anwendung
 - Bildanalyse (z.B. Muster-, Geschwindigkeitserkennung)
 - Bildfilterung (z.B. Tiefpass)
 - Bildkompression



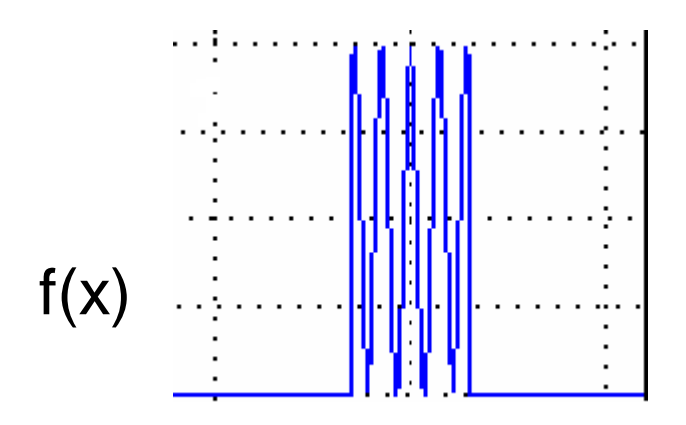
Fourier-Transformation



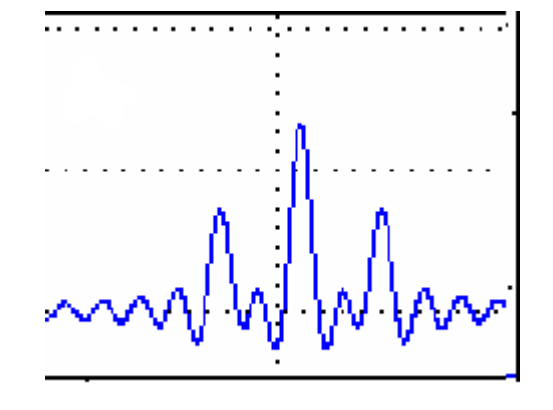
1-dim. Fourier-Transformation kontinuierlich

$$f(x) = \int_{-\infty}^{\infty} F(u) \exp(2i\pi ux) du \qquad F(u) = \int_{-\infty}^{\infty} f(x) \exp(-2i\pi ux) dx$$

$$F(u) = \int_{-\infty}^{\infty} f(x) \exp(-2i\pi ux) dx$$







Fourier-Transformation



- Diskretisierte Verarbeitung im Rechner durch Abtastung mit Impulskamm
- Überlappung der Spektren (Aliasing) bei Nichteinhaltung des Abtasttheorems f_A ≥ 2 * f_{max}
- Diskretes Signal f(x) -> Periodisches Signal F(u)
- Abgetastetes Signal y₊ = y(nT)

Transformiertes Signal
$$Y_{+}(u) = \sum_{n=-\infty}^{\infty} y_n \exp(-i2\pi u nT)$$

2D-Fourier-Transformation



Kontinuierliches 2-dimensionales Signal

$$F(u,v) = \int_{x=-\infty}^{\infty} \int_{y=-\infty}^{\infty} f(x,y) \exp(-2i\pi(ux+vy)) dxdy$$

Diskretes 2-dimensionales Signal

$$F(u,v) = \sum_{x=-\infty}^{\infty} \sum_{y=-\infty}^{\infty} f[x,y] \exp(-2i\pi(ux+vy)T)$$

Fourier-Transformation in der Bildverarbeitung



$$F(u,v) = \sum_{x=-\infty}^{\infty} \sum_{v=-\infty}^{\infty} f[x,y] \exp(-2i\pi(ux+vy)T)$$

DFT bei Bild mit Bildgröße [0<=x<M][0<=y<N]:

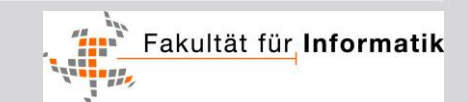
$$F(u,v) = \sum_{y=0}^{N-1} \left(\sum_{x=0}^{M-1} f[x,y] \exp(-2i\pi(ux/M)) \right) * \exp(-2i\pi(vy/N))$$

DFT bei quadratischem Bild mit Bildgröße [0<=x<N][0<=y<N]:

$$F(u,v) = \sum_{y=0}^{N-1} \sum_{x=0}^{N-1} f[x,y] \exp(-2i\pi(ux+vy)/N)$$

Anschaulich: Durchführung der 1D-DFT auf jeder Zeile und Speicherung der Daten in Matrix (innere Klammer)

Durchführung der 1D-DFT auf jeder Spalte der ermittelten Matrix



Fourier-Transformation



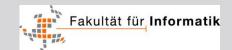
- Die Variablen u und v heißen Frequenzvariablen
- F(u,v) ist komplexe Funktion
- F(u,v) ist darstellbar als zwei Bilder
 - in Realteil und Imaginärteil

$$F(u,v) = R(u,v) + I(u,v)$$

 Oder Betrag (auch Spektrum genannt, oft logarithmisch dargestellt) und Phase

$$F(u,v) = |F(u,v)| * \exp(i\varphi(u,v))$$

Quadrat des Spektrum heißt spektrale Dichte

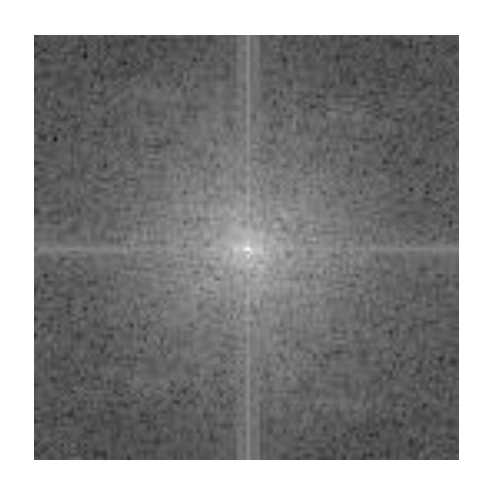


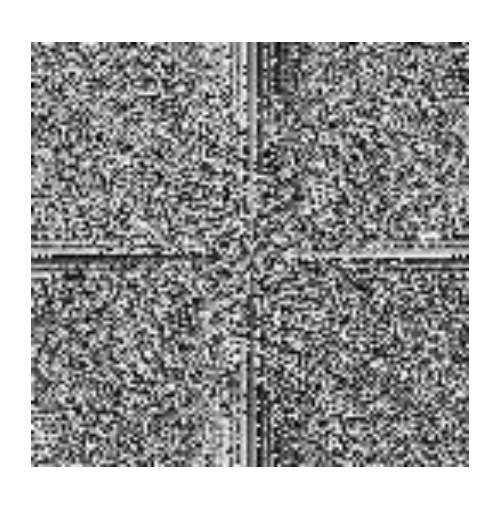
Fourier-Transformation



Beispiel





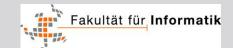


Original f(x,y)

Spektrum log(|F(u,v)|)

Phase Ang(F(u,v))

Fourier-Transformierte F(u,v) ist eine komplexe Funktion

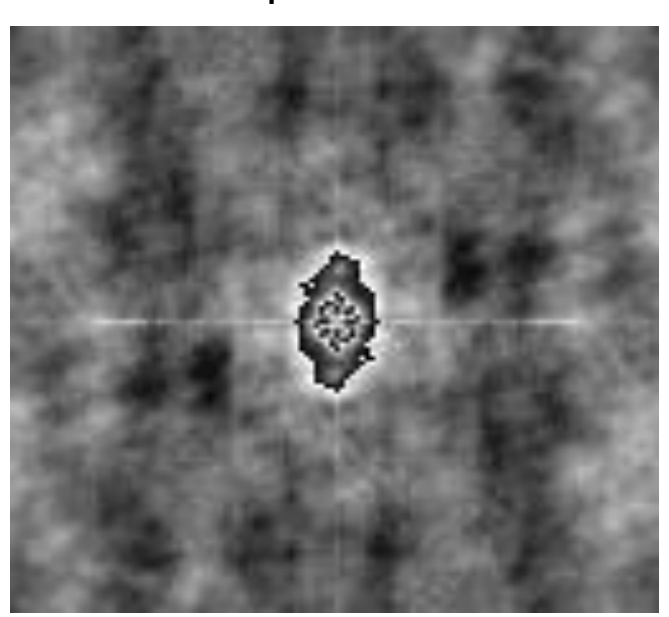


Fourier-Rücktransformation



Rekonstruktion ausschließlich durch

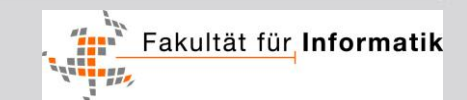
Spektrum



Phase



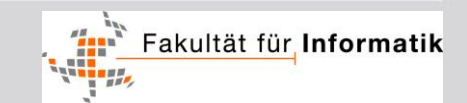
Spektrum UND Phase sind für vollständige Rekonstruktion notwendig



Bildbearbeitung

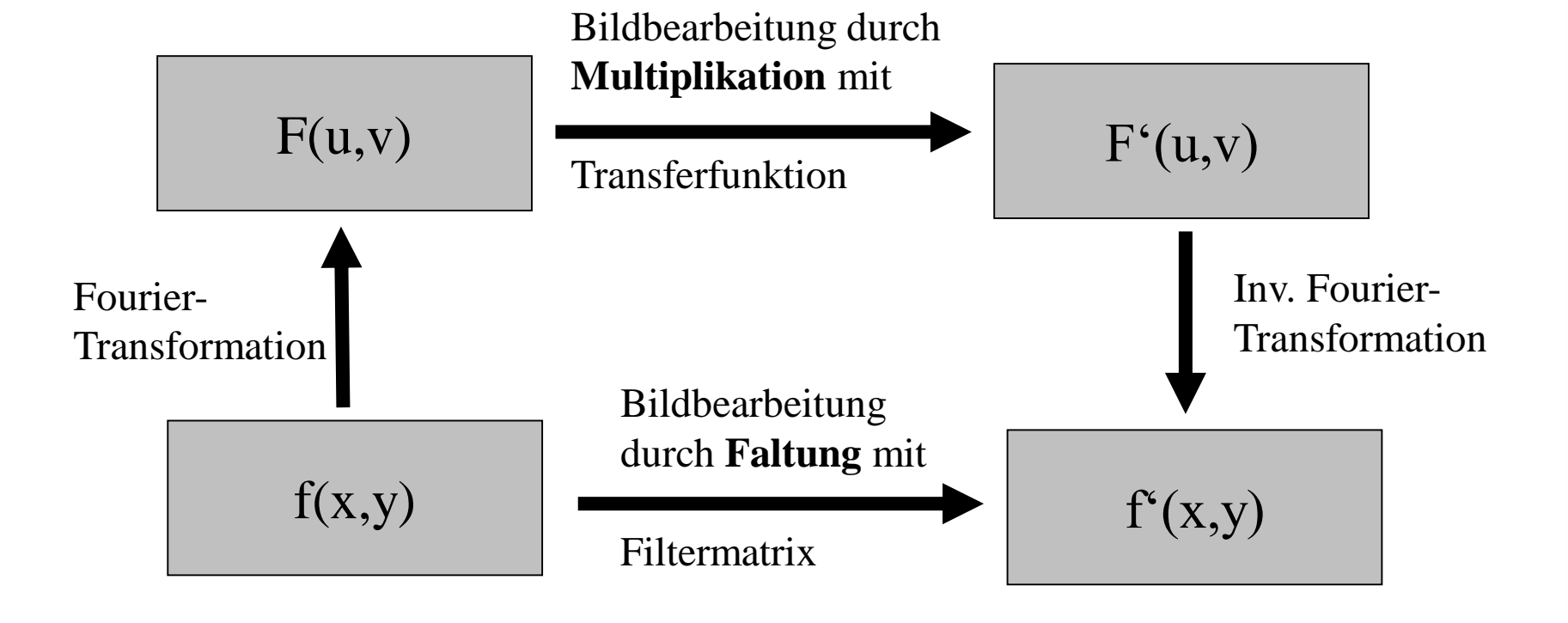


- Durch Filter im Ortsbereich oder Transferfunktion im Frequenzbereich
- Ortsbereich:
 - Manipulation von Grauwerten
 - Anschaulich
 - Häufig: Inhomogene Punktoperationen, Glättung
- Frequenzbereich
 - Manipulation der Frequenzanteile
 - Keine unmittelbare bildliche Vorstellung
 - Häufig: starke Glättung, frequenzselektive Filter



Bildbearbeitung

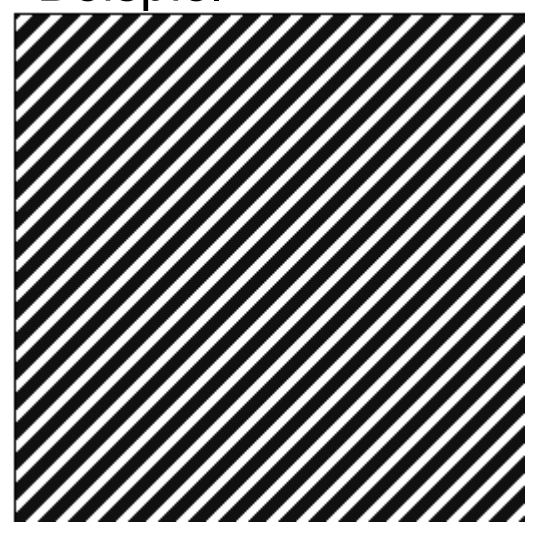


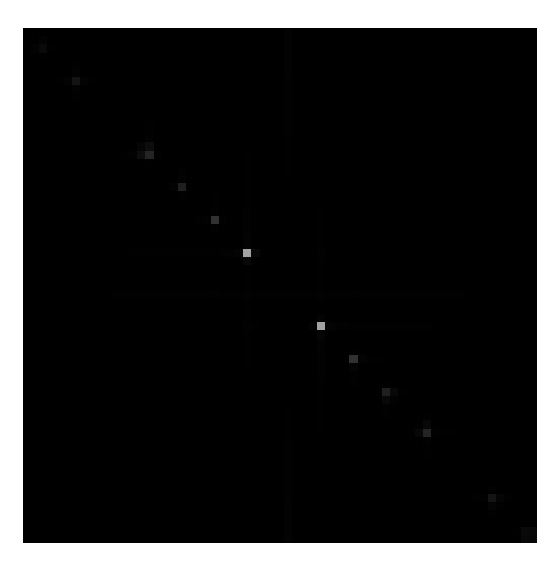


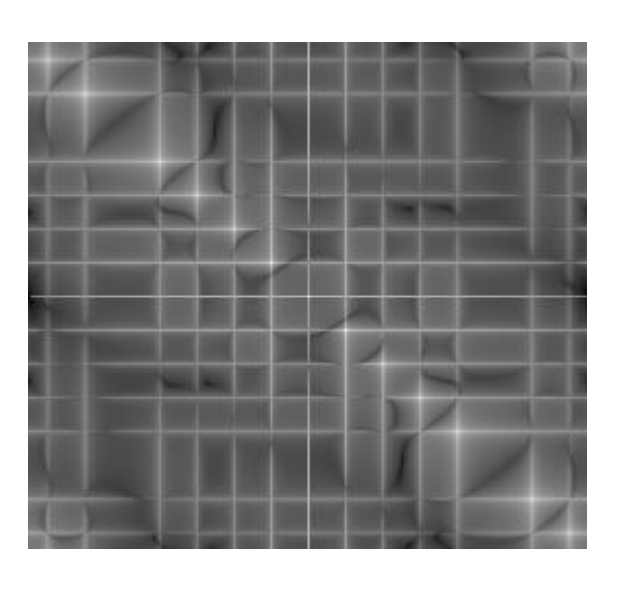
Bildbearbeitung im Frequenzbereich











f(x,y)

|F(u,v)|

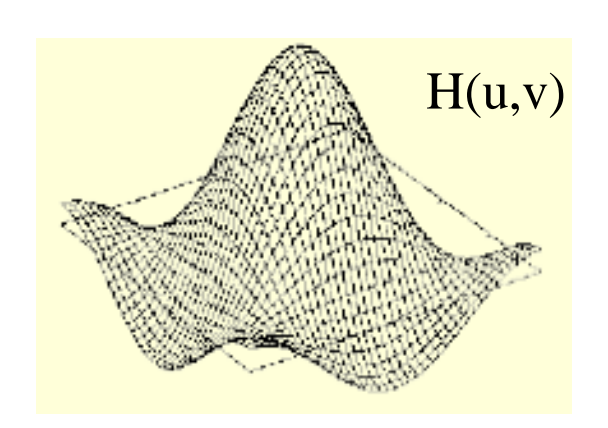
log(|F(u,v)|)

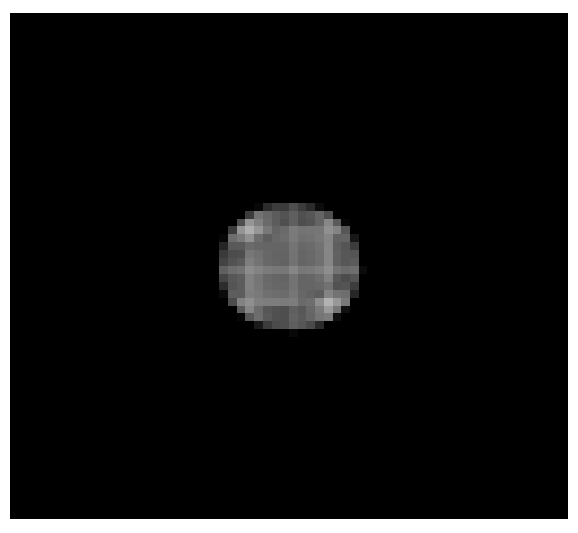
Großer Spektralbereich belegt -> scharfe Übergänge

Bildbearbeitung im Frequenzbereich



Beispiel Tiefpassfilterung (Glättung) mit Transferfunktion H(u,v): (entspricht der Fourier-Transformierten eines 3x3 Mittelwertfilters)





Spektrum



- Filterung mit Radius r = 32 Pixel → unscharfe Übergänge



Bildbearbeitung im Ortsbereich



Faltung zweier Funktionen 1D kontinuierlich

$$h(x) = f(x) * g(x) = \int_{a=-\infty}^{\infty} f(a)g(x-a)da$$

Faltung zweier Funktionen 1D diskret

$$h[x] = f[x] * g[x] = \sum_{a=-\infty}^{\infty} f[a]g[x-a]$$

Bildbearbeitung im Ortsbereich

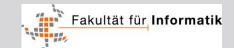


- Im Folgenden:
 - f bezeichnet die Filterfunktion
 - g bezeichnet die Bildfunktion
- Faltung zweier Funktionen 2D kontinuierlich

$$h(x,y) = f(x,y) * g(x,y) = \int_{a=-\infty}^{\infty} \int_{b=-\infty}^{\infty} f(a,b)g(x-a,y-b)dadb$$

Faltung zweier Funktionen 2D diskret

$$h[x, y] = f[x, y] * g[x, y] = \sum_{a = -\infty}^{\infty} \sum_{b = -\infty}^{\infty} f[a, b]g[x - a, y - b]$$



Faltung



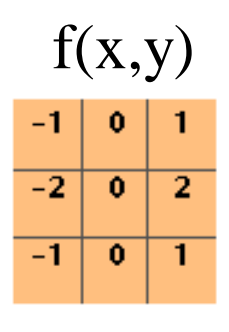
- Bildmatrizen werden in den relevanten Randbereichen mit Nullen gefüllt
- Der neue Bildwert ist die gewichtete Summe der Pixel, die unter der gespiegelten Matrix liegen.
- Als Gewichte dienen die Matrizenwerte
- Bildfilterung ist die Faltung eines Bildes mit einer Filtermatrix bzw. Maske
- Anmerkung bzgl. Frequenzbereich:
 Die Transferfunktion F(u,v) ist die Fourier-Transformierte der Filterfunktion f(x,y)



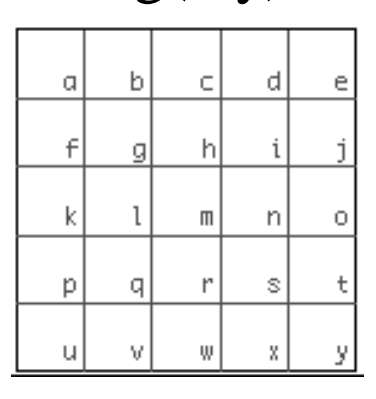
Faltung im Ortsbereich



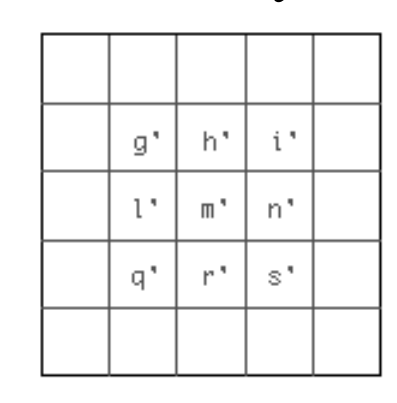




g(x,y)



h(x,y)



-1	0	1			
a	b	С	d	е	
-2	0	2			
f	g	h	i	j	
-1	0	1			
k	1	m	n	0	
р	q	r	s	t	
u	٧	W	х	у	
a' = -a+c-2f+2h-k+m					

а	- 1	0 _	1	e
f	- 2	0	2 i	j
k	- 1	0	1	0
р	q	r	s	t
3	٧		×	у
h' = (d+2i+n)-(b+2g+1)				

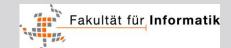
а	ь	- 1	0 d	1
f	g	-2 h	0 i	2
k	l	-1 m	0 n	1 0
р	q	r	S	t
u	٧	w	х	у
i' = (e+2j+o)-(c+2h+m)				

Hinweis: Die Filtermatrix wird hier der Einfachheit halber nicht gespiegelt. Dadurch ändern sich nur die Vorzeichen der Einträge der Ergebnismatrix.

Filteroperationen



- Tiefpassfilter: Glättung, Rauschelimination
 - Mittelwertfilter
 - Gauß-Filter
- Hochpassfilter: Kantendetektion
 - Prewitt
 - Sobel
 - Laplace
 - Roberts
- Kombinierte Operatoren
 - Laplacian of Gaussian

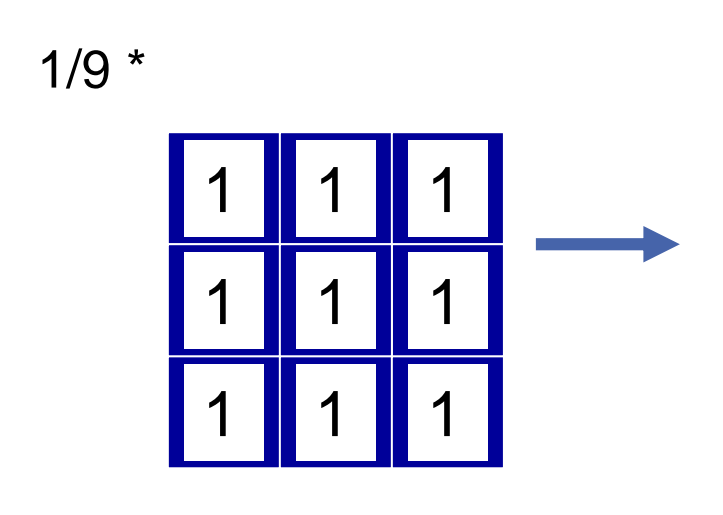


Mittelwertfilter



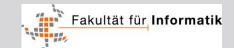
Ziel: Rauschunterdrückung Beispiel:

Durchschnitt aus 8- Umgebung und Punkt; Größe beliebig wählbar



13	25	30	34	40	46	60	76
	2.0		0.1	· ·			
45	(1/9)*50	(1/9)*52	(1/9)*55	65	67	87	77
34	(1/9)*45	(1/9)*55 => 52	(1/9)*60	54	45	56	65
45	(1/9)*50	(1/9)*52	(1/9)*48	45	65	65	45
34	34	54	56	57	58	67	70
45	46	46	46	45	53	52	60
50	68	69	60	70	70	78	79
68	70	78	78	80	80	80	90

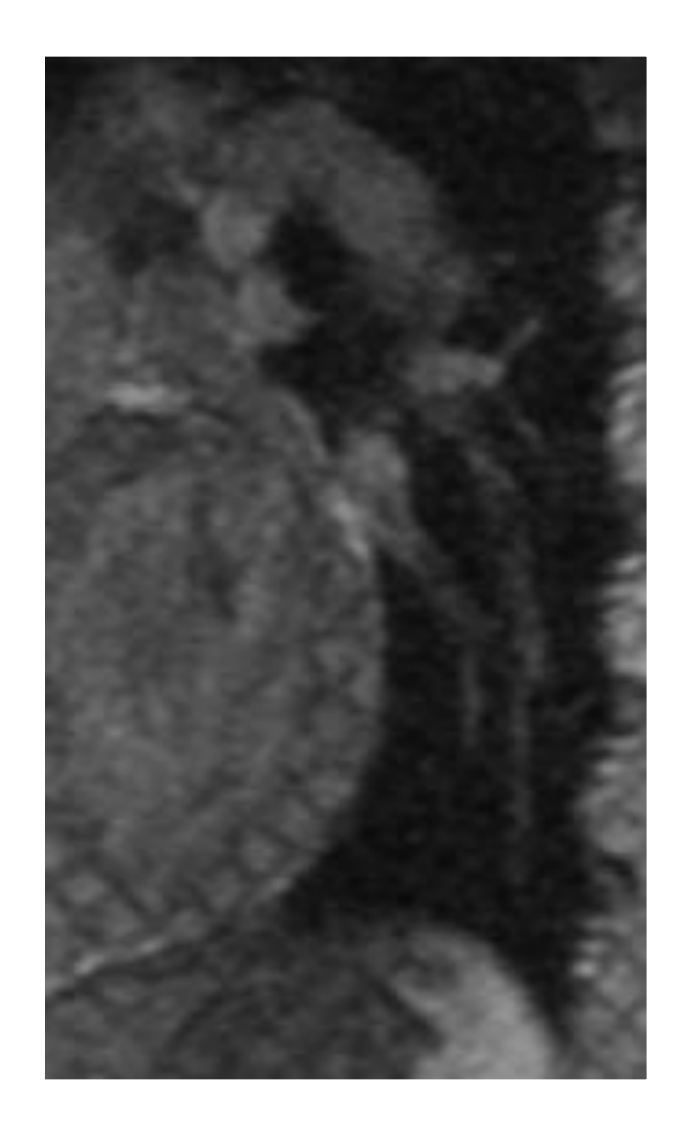
$$m'(x,y) = \sum_{j=-1}^{1} \sum_{i=-1}^{1} m(i,j) \cdot p(x-j,y-i)$$



Mittelwertfilter II









Gauß-Filter



- Ziel: Rauschunterdrückung, Glättung
- Definiert durch zweidimensionale Gauß-Funktion (links: Ortsbereich, rechts: Frequenzbereich):

$$f(x,y) = \frac{1}{2\pi\sigma^2} e^{-\frac{x^2 + y^2}{2\sigma^2}} \longrightarrow F(u,v) = e^{-\frac{u^2 + v^2}{2}\sigma^2}$$

Approximation von f(x) (also für die Anwendung im Ortsbereich) durch einen 3×3 -Filter für $\sigma=0.85$:

$$F_{Gau\beta} = rac{1}{16} egin{pmatrix} 1 & 2 & 1 \ 2 & 4 & 2 \ 1 & 2 & 1 \end{pmatrix}$$

Gauß-Filter II



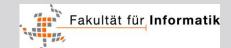
- Die Stärke der Glättung ist ausschließlich durch den Parameter σ bestimmt:
 Je größer σ, umso stärker die Glättung.
- Die Größe n×n der Filtermaske beeinflusst die Güte der Approximation des Filters
- Im Ortsbereich kann als Faustregel für eine ausreichende Approximation verwendet werden:
 n = 2σ ⋅ 2 + 1
- Deshalb: Für eine starke Glättung lohnt sich die Anwendung im Frequenzbereich.







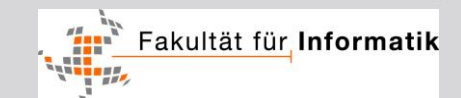
Originalbild







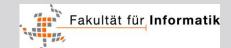
Ergebnis nach Anwendung des Gauß-Filters mit $\sigma = 1$







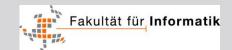
Ergebnis nach Anwendung des Gauß-Filters mit $\sigma^2 = 2$







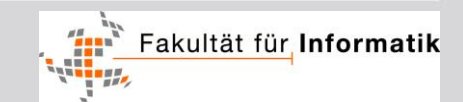
Ergebnis nach Anwendung des Gauß-Filters mit $\sigma^2 = 4$







Ergebnis nach Anwendung des Gauß-Filters mit $\sigma^2 = 8$







Ergebnis nach Anwendung des Gauß-Filters mit $\sigma^2 = 16$



Darstellung der Filterantworten in den nachfolgenden Beispielen

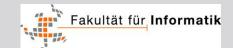


Legende

Helles Grau
Filterausgabe > 0
Dunkles Grau
Filterausgabe < 0
Hintergrundfarbe
Filterausgabe = 0



Alternativ: Betragsmäßige Darstellung (Hintergrund schwarz)



Filterung – Prewitt

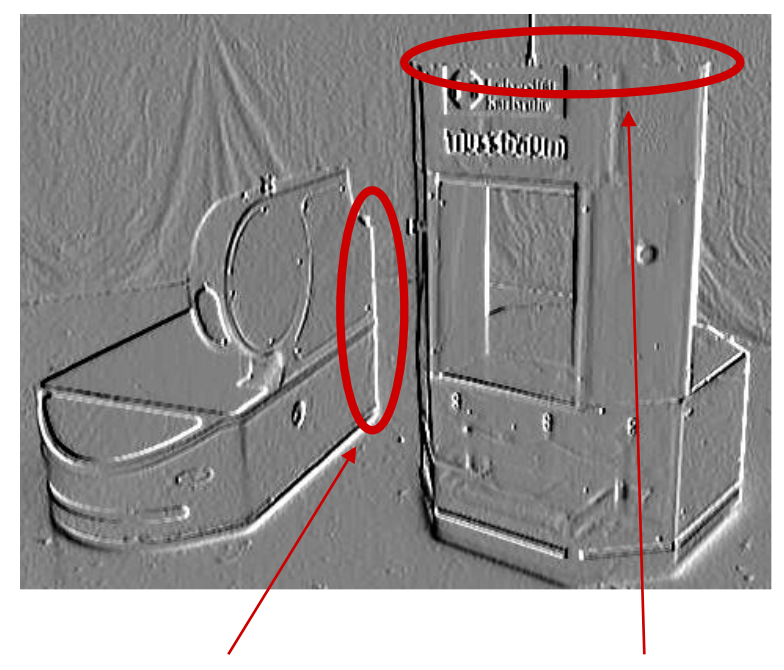


Prewitt-X Filter

$$P_{x} = \frac{\partial g(x, y)}{\partial x}$$

Approximiert durch

$$p_{x} = \begin{pmatrix} -1 & 0 & 1 \\ -1 & 0 & 1 \\ -1 & 0 & 1 \end{pmatrix}$$



gute vertikale schlechte horizontale

Kantendetektion

Filterung – Prewitt II

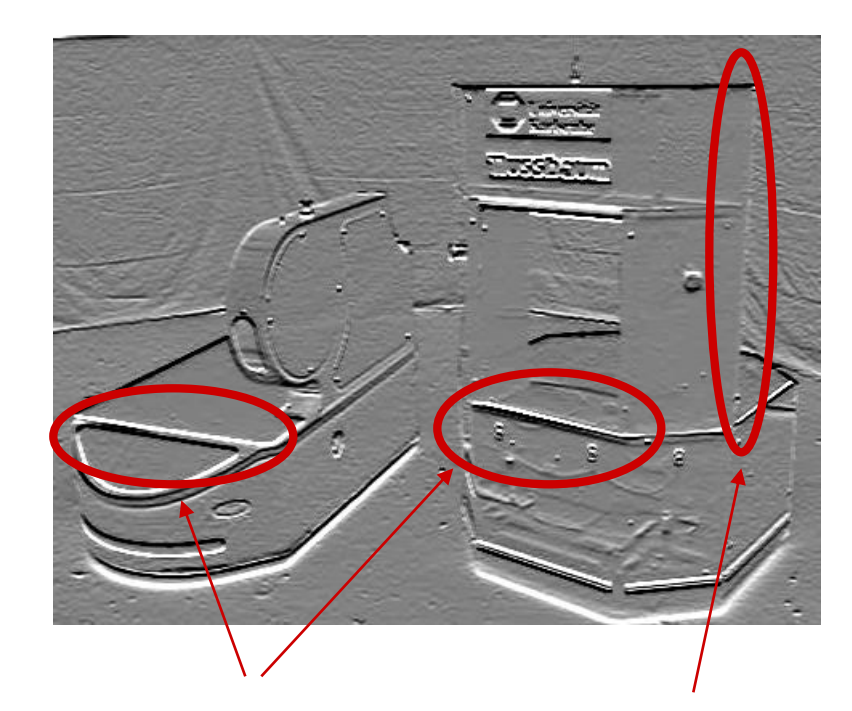


Prewitt-Y Filter

$$P_{y} = \frac{\partial g(x, y)}{\partial y}$$

Approximiert durch

$$p_{y} = \begin{pmatrix} -1 & -1 & -1 \\ 0 & 0 & 0 \\ 1 & 1 & 1 \end{pmatrix}$$



gute horizontale

schlechte vertikale

Kantendetektion

Filterung – Prewitt III



Prewitt-Operator

Kombination der Prewitt-Filter zur Bestimmung des Grauwertgradientenbetrages M

$$M \approx \sqrt{P_x^2 + P_y^2}$$

Danach: Schwellwertfilterung



Filterung – Sobel

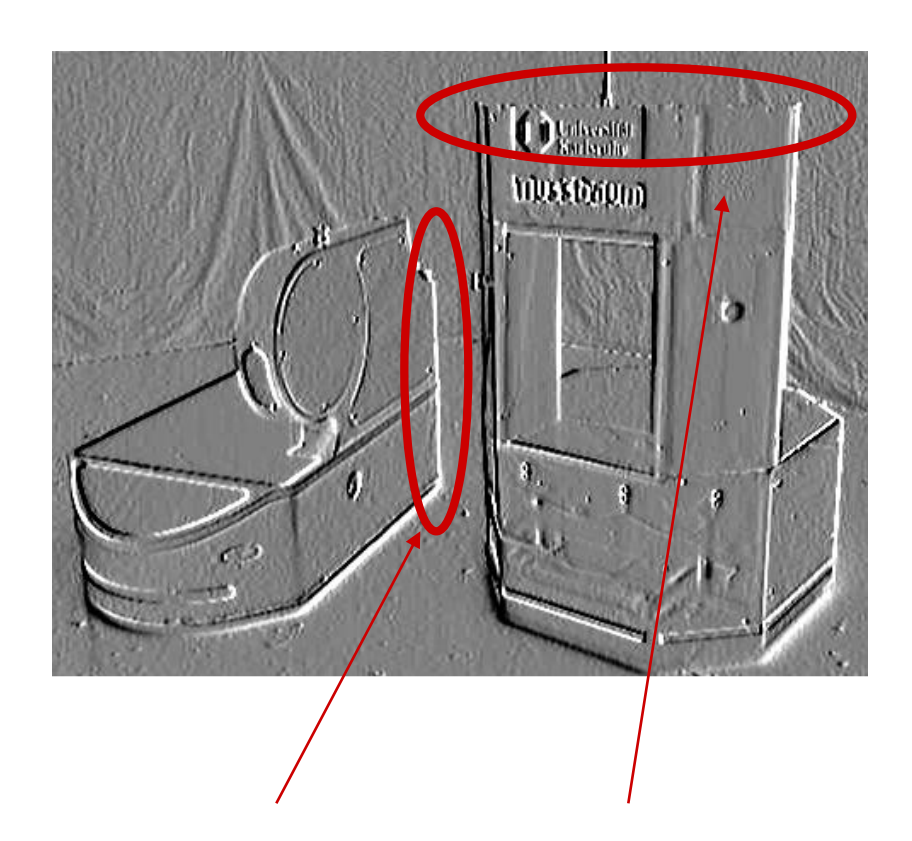


Sobel-X Filter

$$S_{x} = \frac{\partial g(x, y)}{\partial x}$$

Approximiert durch

$$s_x = \begin{pmatrix} -1 & 0 & 1 \\ -2 & 0 & 2 \\ -1 & 0 & 1 \end{pmatrix}$$



gute vertikale schlechte horizontale Kantendetektion

Filterung – Sobel II

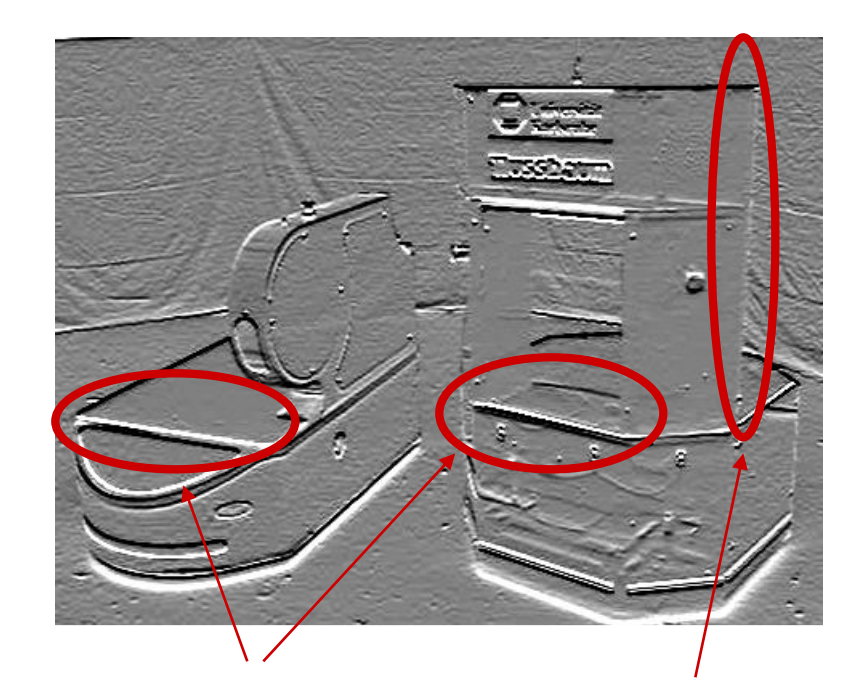


Sobel-Y Filter

$$S_{y} = \frac{\partial g(x, y)}{\partial y}$$

Approximiert durch

$$s_{y} = \begin{pmatrix} -1 & -2 & -1 \\ 0 & 0 & 0 \\ 1 & 2 & 1 \end{pmatrix}$$



gute horizontale

schlechte vertikale

Kantendetektion

Filterung – Sobel III



Sobel-Operator

 Kombination der Sobel-Filter zur Bestimmung des Grauwertgradienten-Betrages M

$$M \approx \sqrt{S_x^2 + S_y^2}$$

Danach:Schwellwertfilterung



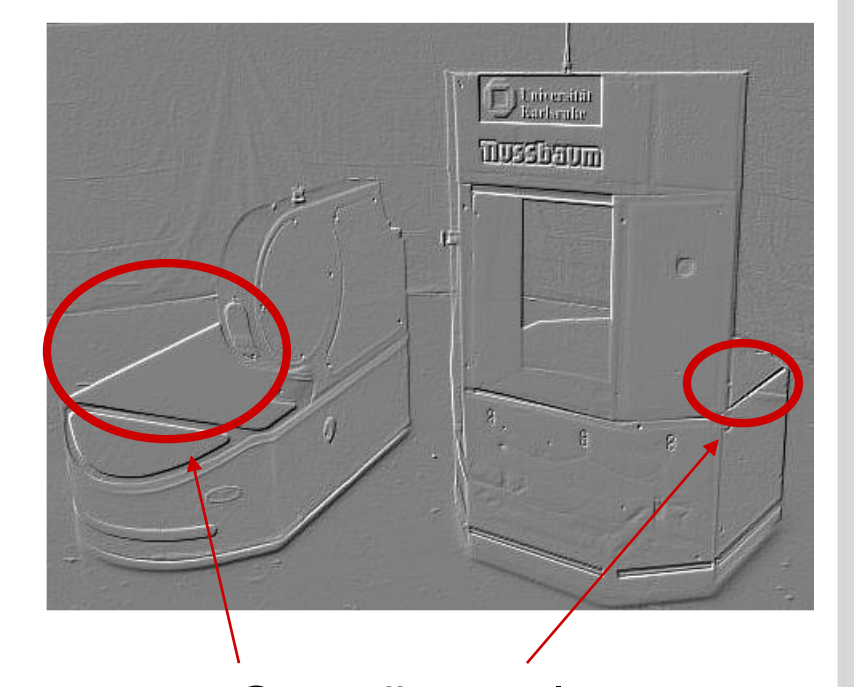
Filterung – Roberts



Roberts-Filter:

$$R(g(x,y)) = |R_x(g(x,y))| + |R_y(g(x,y))|$$

$$R_{x} = \begin{pmatrix} -1 & 0 \\ 0 & 1 \end{pmatrix}, \quad R_{y} = \begin{pmatrix} 0 & -1 \\ 1 & 0 \end{pmatrix}$$



Gute diagonale Kantendetektion

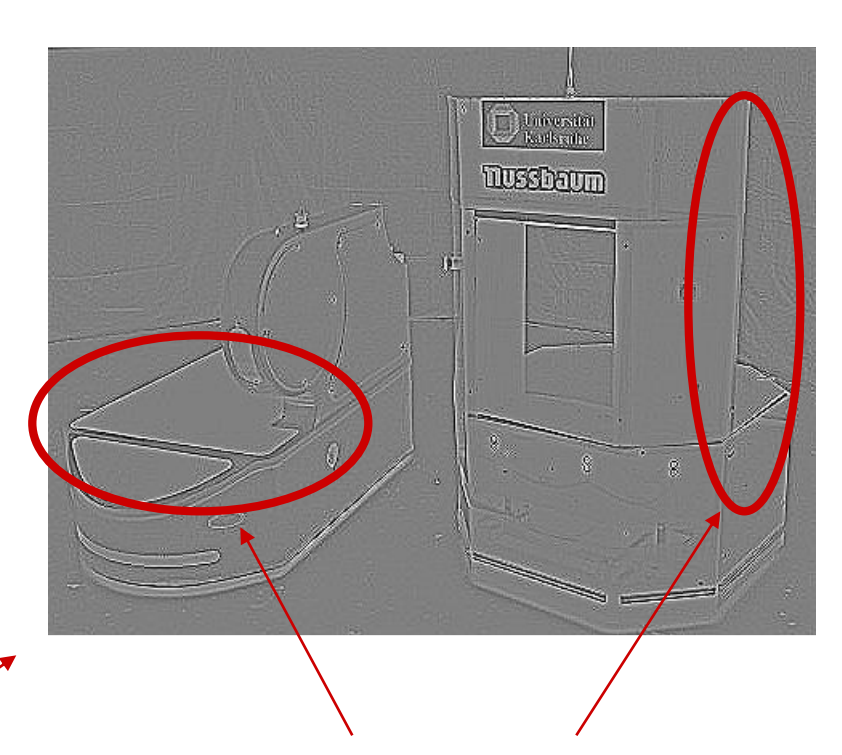
Filterung – Laplace



Laplace-Operator:

$$\nabla^2 g(x,y) = \frac{\partial^2 g(x,y)}{\partial x^2} + \frac{\partial^2 g(x,y)}{\partial y^2}$$

$$\nabla^2 \approx \begin{pmatrix} 0 & 1 & 0 \\ 1 & -4 & 1 \\ 0 & 1 & 0 \end{pmatrix}$$



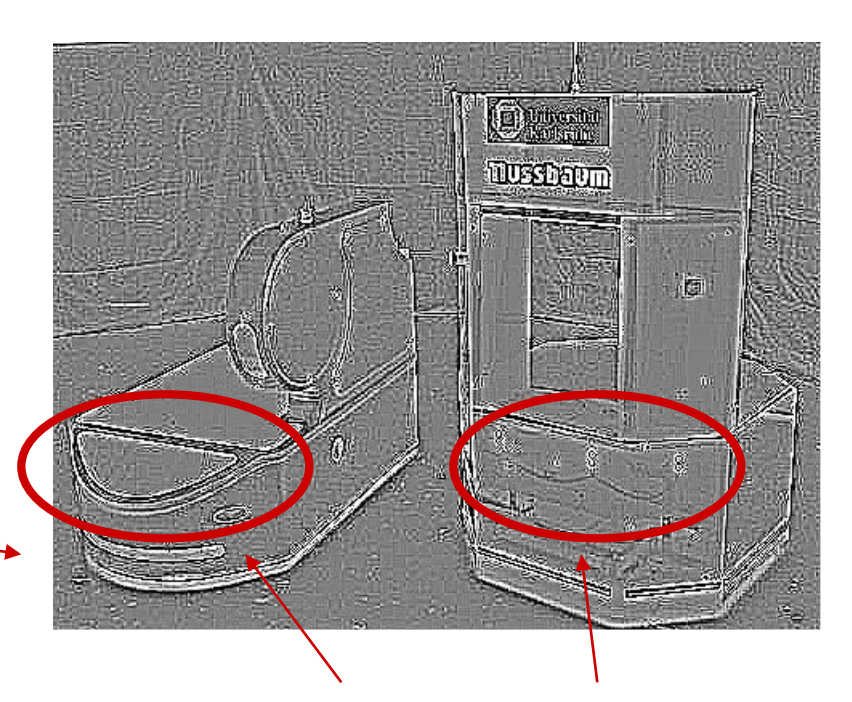
Nulldurchgänge markieren Kanten

Filterung – Laplace II



Variante des Laplace-Operators:

$$\nabla^2 \approx \begin{pmatrix} 1 & 1 & 1 \\ 1 & -8 & 1 \\ 1 & 1 & 1 \end{pmatrix}$$

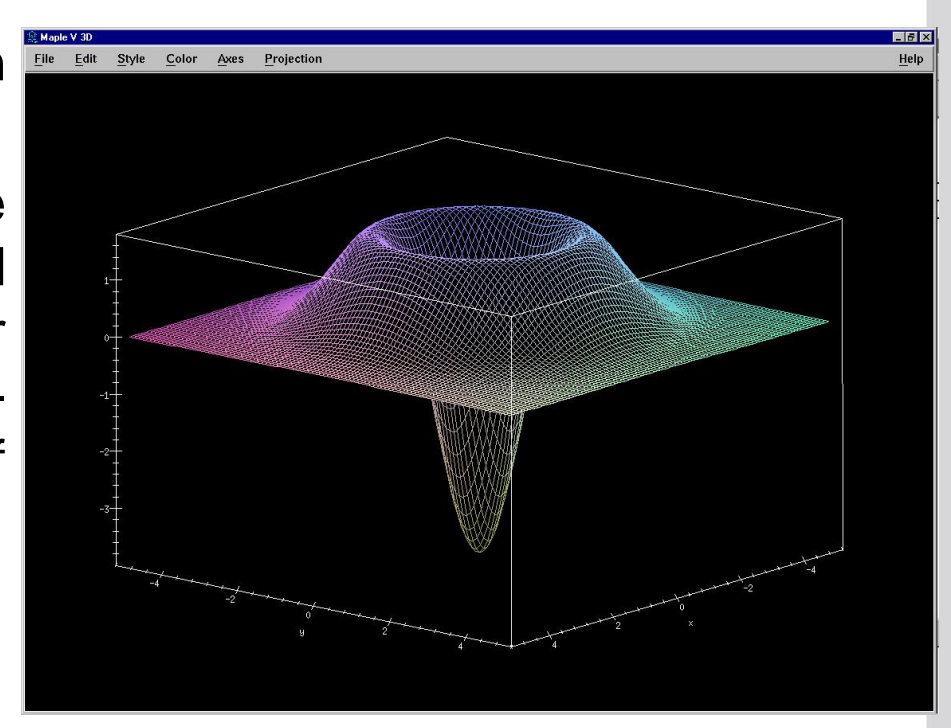


Stärkere, aber mehr Störkanten

Filterung – LoG



- Der Laplace-Operator ist gegen Rauschen sehr empfindlich.
- Wesentlich bessere Ergebnisse erhält man, wenn man das Bild zunächst mit einem Gauß-Filter glättet und danach den Laplace-Operator anwendet (Laplacian of Gauß, LoG):



$$LoG(g(x,y)) = \nabla^2(f(x,y) * g(x,y))$$

f bezeichnet die Filterfunktion eines Gauß-Filters



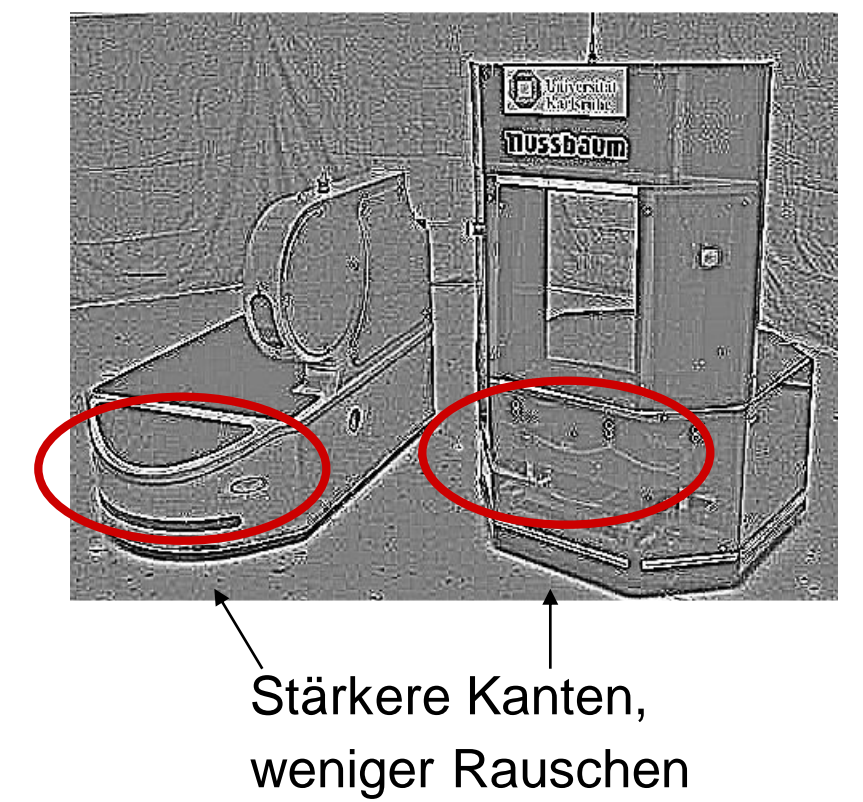
Filterung – LoG II



Approximation

Faltung mit Matrix

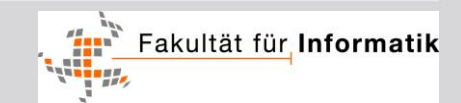
$$\nabla^2 F(x,y) = \begin{pmatrix} 0 & 0 & -1 & 0 & 0 \\ 0 & -1 & -2 & -1 & 0 \\ -1 & -2 & 16 & -2 & -1 \\ 0 & -1 & -2 & -1 & 0 \\ 0 & 0 & -1 & 0 & 0 \end{pmatrix}$$



Canny-Kantendetektor



- Nach John F. Canny aus dem Jahre 1986
- Ziel war es den "optimalen" Kantendetektor zu finden:
 - Gute Detektion
 - Gute Lokalisierung
 - Minimale Antwort ("dünne Linien")
- Canny-Kantendetektor berechnet binäre Antwort (üblicherweise 0: keine Kante, 255: Kante)
- Subpixelgenauigkeit durch Erweiterung möglich
- Algorithmus besteht aus mehreren Schritten



Canny-Kantendetektor II



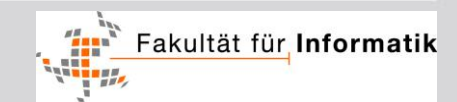
- Schritte des Algorithmus
 - 1. Rauschunterdrückung: Gauß-Filter
 - Berechnung der Gradienten in horizontaler und in vertikaler Richtung

Prewitt_x / Prewitt_y oder Sobel_x / Sobel_y

- Berechnung der Richtung: $φ = atan(g_y / g_x)$
- Einteilung der Richtung in vier Quadranten:

```
1: [-67.5°, -22.5°), 2: [-22.5°, 22.5°), 3: [22.5°, 67.5°), 4: [-90°, -67.5°) oder [67.5°, 90°]
```

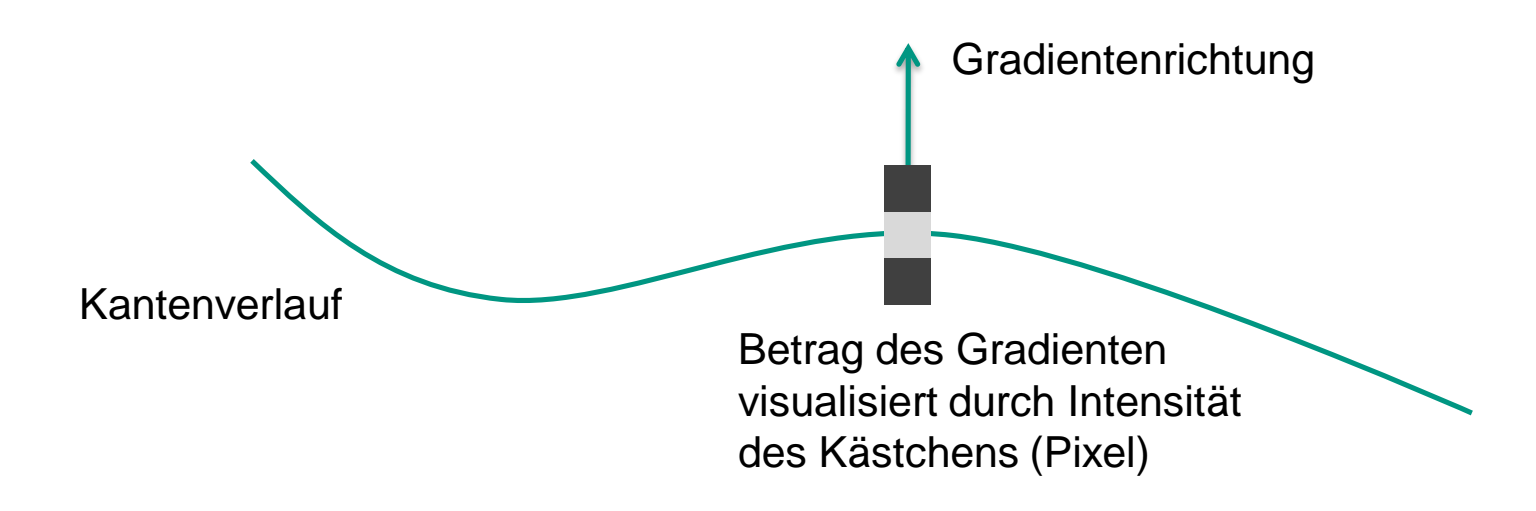
- 3. Non-Maximum Supression
- 4. Hysterese-Schwellwertverfahren



Canny-Kantendetektor III



- Non-Maximum Supression
 - Gradient muss lokales Maximum sein bei Betrachtung der zwei direkten Nachbarn entlang der Gradientenrichtung
 - Überprüfung erfolgt gemäß dem jeweiligen Quadranten





Canny-Kantendetektor IV



- Hysterese-Schwellwertverfahren
 - Verwendung von zwei Schwellwerten: low / high
 - Liegt der Betrag des Gradienten für ein Pixel über dem Schwellwert high, so wird es auf jeden Fall akzeptiert
 - Ausgehend von den akzeptierten Pixel werden Kanten (rekursiv) verfolgt:
 - Überprüfung der acht direkten Nachbarn
 - Betrag Gradient muss über Schwellwert low liegen
 - Anmerkung: Lokale Maximalitätsbedingung aus Schritt 3 muss in jedem Fall erfüllt sein!



Canny-Kantendetektor V



Beispiel







Nächste Veranstaltung:

Montag, 9. Mai 2017

